

I-314 地震時におけるフィルダム挙動の非定常スペクトル特性

京都大学 農学部 正員 菊沢 正裕
同 正員 長谷川 高士

1. まえがき

フィルダムの地震時挙動の合理的なシミュレーションを達成し、実用的で耐震設計を行う上で実挙動に対する知識を深めることは早急な課題である。本報告では、堤底及び周辺地盤から振幅・振動数特性が時に刻々変化する地震荷重を受けた堤体が示す応答特性を壠田の発展パワースペクトル⁽¹⁾により検討し、振動数を配慮した堤体の振動増幅特性、堤体の固有振動数、拘束部の挙動及びその堤頂挙動への影響等について考察した。

2. 地震観測

青森県の浪岡ダム（堤高52m、堤軸長304mの中央遮水壁型ロックフィルダム、非たん水状態）で観測された日本海中部地震（1983）時の応答データを対象とし、本震（5月26日）を含む大小余震6ケースについて解析した。観測は動電型の地震計（加速度、変位の計19成分）を用いてFig.1に示す5点で行われた。なお、本震（M7.7）及び最大余震（6月21日、M6.9）の震央に対し、堤体は各自 S62 W, 159.0 km 及び N51 W, 165.2 km の位置にある。

3. 堤体挙動の非定常スペクトル解析

3.1 広帯パワースペクトル

Fig.2は最大余震（6月21日）の50秒間及びその10秒分割区間のパワースペクトル（堤底S1と堤頂S3のY成分）で、主要動は15~30秒の約15秒間である。明らかに振動数特性は非定常である。とくに、堤底入力波で卓越する3~5Hz成分が堤頂での全経緯時間のスペクトルでは顕著でないのに対し、11~20秒の区間解析では強調されて現れる。

3.2 壺田の発展パワースペクトル

地震波のように顕著な卓越振動数を有し、それが時間的に変化する現象を表現する為 Priestley は変調関数と定常確率過程との積で表される非定常確率過程を考え、それより時間せき、固有振動数の領域で定義される発展スペクトルをえた。⁽²⁾ これに対し壠田は媒質域フィルターとして線形1自由度系の出力応答を用いて次式で与えられる発展パワースペクトル $G(t, \omega)$ の有用な算定法を提案した。⁽¹⁾

$$G(t, \omega_n) = \frac{2h\omega_n^3}{\pi} \left(\frac{y^2(t) + \dot{y}^2(t)}{\omega_n^2} \right) \quad (\text{gal}^2/\text{rad}/\text{s}) \quad \text{---(1)}$$

ここで y は時系列 $x(t)$ を加速度入力とする1自由度系 (h, ω_n) の応答変位と速度、又 h, ω_n は、減衰定数及び固有固有振動数を表す。

3.3 堤体の固有振動数と発展パワースペクトルの関係

6回の地震（#1; 稲穂、#3、#4；5/26、#6；6/1、#7；6/19、#2；6/21）に対する G を算定した。Fig.3はその一部で S3(X) の地震 #1, 2, 4 に対する結果である。その特徴は、堤体の1次固有振動数 f_1 以下の振動数に対する G は主要動及びそれ以降の減衰部で大きさ10⁴を示すのに対し、 f_1 以上の振動数に対する G は主要動（特にその前半）部分ヒヤウが集中することである。又、 f_1 付近の G は加速

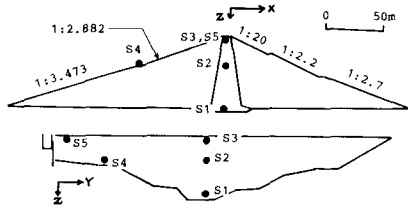


Fig.1 Section of Namioka Dam and Observation Points.

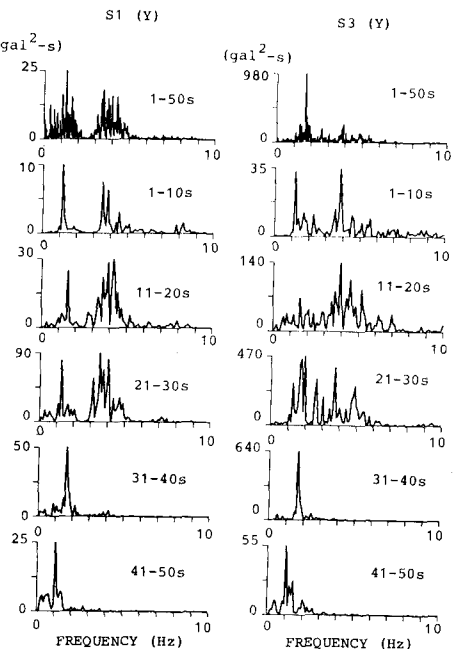


Fig.2 Power Spectra (EQ#2 Jun 21, 1983)

度時系列 $x(t)$ の振幅包絡線と似に分布を示す。たゞしどちらの方向子は固有值解析、現場振動実験よりせん断ひずみド $= 10^{-6}$ レベルで 2.75 Hz, $f = 10^{-4} \sim 10^3$ で 2 Hz 前後と推定されていい。⁽³⁾ Fig. 4 は $f = 0.5 \sim 5$ Hz の範囲の 0.1 Hz 刻みで算定された ζ の最大値を用いて標高の異なる観測点 S1-S2-S3 間の振動数毎の増幅特性を調べたものである。縦軸の R は、例えば S1 での ζ の最大値を G1 と表わすと、

で与えられ、法面勾配の変化する中高部の S2 (Fig. 1 参照) を基準とする堤体高部と低部の増幅特性を示す。又が 1 以下から 1 以上に至る所を臨界振動数 f_c とすると、 f_c は、Z, Y, X の順に高くなりかつ地盤規模が大きくなるに伴い低くなることから f_c は、堤体の固有振動数と関連があると考えられる。

3.4 周辺地盤の挙動とその堤体挙動への影響

3.4 周辺地盤の挙動とその堤体挙動への影響

Fig.5は地震#2(X成分)に対する各観測点のS1である。S1とS4の分布形状が異なり、特にランニンクスペクトル(RS)を示すFig.6で特徴的なS4の3.5Hz成分に対するS1の差の差は大きい。ところがS4から入るS1に無い特徴的な振動数成分の影響はS5には現れず、S3まではほぼ無いことが、
S1(X)

より、RS から推測される。Fig. 7 は RS を振動数領域で積分してエネルギー分布で曲線の変曲点は概ね時系列の初動部、主動部、減衰部に対応するが、これより S4, S5 の減衰部への勾配変化が明確である。周囲地盤部分では主要動以降の減衰が遅いと考えられる。

4. 謝 辞

貴重な觀測データを御覧しいだ
だいた東北農政局浪岡川農業水利
事業所に感謝の意を表します。

5. 参考文献

- (1) 龜田：土壤論集 235, 1975.
 (2) Priestley: J. of Royal. Stat. Soc., Ser B. Vol. 27, 1965.
 (3) 菊次, 長谷川: 第18回土壤工学研究発表会, 2011, (272), 1983.

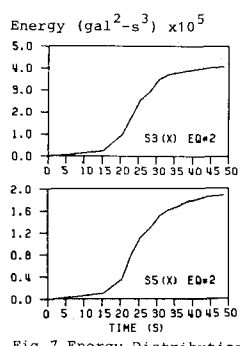


Fig. 7 Energy Distribution.

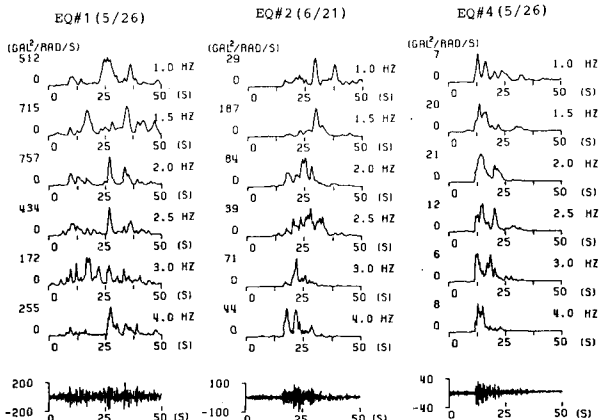


Fig.3 Evolutionary Power Spectra for various events at S3(X). ($h=5\%$)

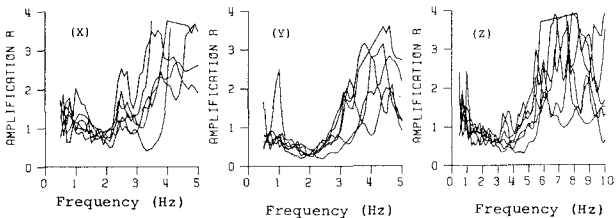


Fig. 4 Amplification for various frequency components.

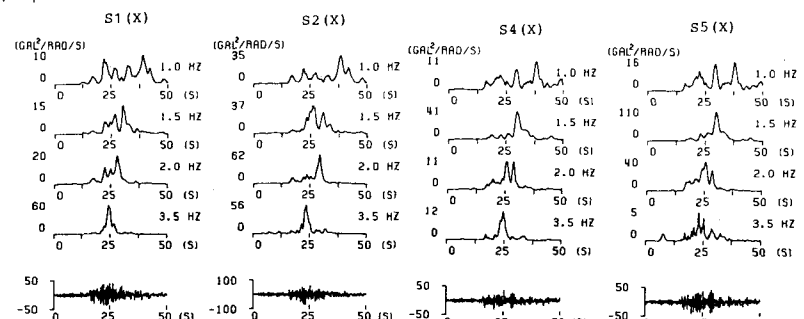


Fig.5 Evolutionary Power Spectra of the records (X) for EQ#2 at S1,S2,S4 and S5 (see Fig.3 for S3). ($\hbar = 5^{\circ}$)

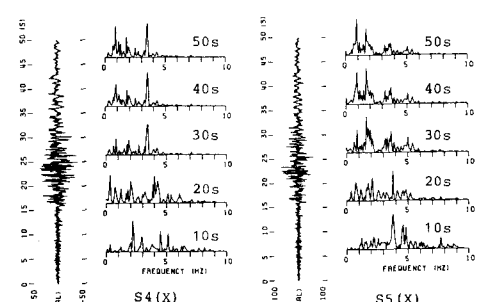


Fig.6 Square Amplitude of Running Spectra(EO#2).